

УДК 519.624.2

## ЧИСЛЕННЫЙ МЕТОД РЕШЕНИЯ ОБРАТНОЙ ЗАДАЧИ ДЛЯ УРАВНЕНИЯ ЛАПЛАСА В ОБЛАСТИ С НЕИЗВЕСТНОЙ ВНУТРЕННЕЙ ГРАНИЦЕЙ<sup>1)</sup>

© 2019 г. С. В. Гаврилов

(119991 Москва, Ленинские горы, МГУ ВМК, Россия)

e-mail: gvrserg@gmail.com

Поступила в редакцию 27.03.2018 г.

В настоящей работе рассматривается обратная задача для уравнения Лапласа в двусвязной двумерной области. По данным Дирихле и Неймана на известной внешней границе области требуется определить неизвестную внутреннюю границу, на которой функция принимает постоянное значение. В работе доказана единственность решения поставленной обратной задачи. Предложен итерационный численный метод определения неизвестной границы. Приводятся результаты вычислительных экспериментов. Библ. 16. Фиг. 2.

**Ключевые слова:** уравнение Лапласа, неизвестная граница, численный метод.

**DOI:** 10.1134/S0044466919010095

### 1. ВВЕДЕНИЕ

Рассмотрим следующую краевую задачу. Пусть  $\Omega$  — ограниченная односвязная двумерная область, а кривая  $\Gamma_0$  является ее границей. Пусть  $\Omega_1$  — односвязная область, ограниченная кривой  $\Gamma_1$  такая, что  $\overline{\Omega_1} \in \Omega$  и область  $\Omega_0 = \Omega \setminus \overline{\Omega_1}$  является двусвязной. Кривые  $\Gamma_0$  и  $\Gamma_1$  гладкие:  $\Gamma_0, \Gamma_1 \in C^2$ .

Пусть функция  $u(M)$  такова, что:  $u \in C^2(\Omega_0) \cap C^1(\overline{\Omega_0})$ ,

$$\Delta u(M) = 0, \quad M \in \Omega_0, \quad (1)$$

$$u(M) = a, \quad M \in \Gamma_1, \quad (2)$$

$$u(M) = f(M), \quad M \in \Gamma_0, \quad (3)$$

здесь  $a$  — постоянная величина, а  $f(M)$  — функция, непрерывная на  $\Gamma_0$ .

В настоящей работе исследуется обратная задача для краевой задачи (1)–(3), состоящая в определении внутренней границы  $\Gamma_1$  по данным Неймана для функции  $u(M)$  на внешней границе  $\Gamma_0$ . Такую математическую задачу можно рассматривать как частный случай задачи электроимпедансной томографии для среды с кусочно-постоянной проводимостью [1]–[4], которая принимает два значения: в области  $\Omega_0$  проводимость конечна и постоянна, а в области  $\Omega_1$  значение проводимости постоянно и столь велико, что область  $\Omega_1$  можно считать идеальным проводником. Известно, что потенциал стационарного электрического поля в идеально проводящей среде принимает постоянное значение (см. [5]). Этому физическому принципу соответствует условие (2) в краевой задаче (1)–(3). Будем полагать, что значение проводимости в области  $\Omega_0$  равно 1.

В работе [6] доказана единственность определения неизвестной границы  $\Gamma_1$  в обратной задаче для краевой задачи (1)–(3) с дополнительным условием Неймана на границе  $\Gamma_0$  при известном значении постоянной  $a = 0$  в уравнении (2), предложен численный метод решения этой обрат-

<sup>1)</sup>Работа выполнена при финансовой поддержке бюджета факультета ВМК МГУ имени М.В. Ломоносова, гос. рег. АААА-А16-116021510092-2.

ной задачи, основанный на использовании конформных отображений. В настоящей работе значение  $a$  предполагается неизвестным, для этого случая доказывается теорема о единственности решения обратной задачи определения границы  $\Gamma_1$ , излагается итерационный численный метод определения неизвестной границы. В ряде работ (см. [7]–[9] и цитированную в них литературу) рассматривается задача обнаружения трещин или дефектов в области с постоянной проводимостью по совокупности нескольких пар данных Дирихле и Неймана на части ее внешней границы. Исследуемые в этих работах математические задачи близки к задаче, рассматриваемой в настоящей работе, однако имеют принципиальные отличия.

## 2. СВОЙСТВА КРАЕВОЙ ЗАДАЧИ (1)–(3)

Рассмотрим некоторые свойства краевой задачи (1)–(3). Если границы  $\Gamma_0$  и  $\Gamma_1$ , а также значения функции  $u(M)$  на этих границах заданы, то задача (1)–(3) представляет собой задачу Дирихле для уравнения Лапласа, которая имеет единственное решение при любых значениях  $f(M)$  и  $a$  [10]. В случае, если значение  $a$  неизвестно, для обеспечения единственности решения краевой задачи необходимо дополнительное условие. Покажем, что таким условием может быть обращение в ноль интеграла от нормальной производной функции  $u(M)$  по внешней границе

$$\int_{\Gamma_0} \frac{\partial u(P)}{\partial n_P} dl_P = 0. \quad (4)$$

Докажем вспомогательную лемму.

**Лемма 1.** Пусть функция  $u(M)$  является решением задачи Дирихле (1)–(3) с функцией  $f(M) \equiv 0$  и значением  $a \neq 0$ , тогда

$$\int_{\Gamma_0} \frac{\partial u(P)}{\partial n_P} dl_P \neq 0.$$

**Доказательство.** Пусть  $a > 0$  (без ограничения общности). Гармоническая функция  $u(M)$  принимает максимальное и минимальное значения на границах области  $\Omega_0$  и для всех  $M \in \overline{\Omega_0}$  выполнено  $0 \leq u(M) \leq a$ . Тогда

$$\frac{\partial u(M)}{\partial n_M} = \lim_{P \rightarrow M} \frac{u(P) - u(M)}{\rho_{MP}} = \lim_{P \rightarrow M} \frac{u(P)}{\rho_{MP}} \geq 0, \quad M \in \Gamma_0;$$

здесь  $n_M$  – внутренняя нормаль к  $\Gamma_0$  в точке  $M$ , точка  $P \in \Omega_0$  находится на этой нормали, а  $\rho_{MP}$  – расстояние между точками  $M$  и  $P$ . Из этого следует, что

$$\int_{\Gamma_0} \frac{\partial u(P)}{\partial n_P} dl_P \geq 0.$$

Предположим, что этот интеграл равен нулю, тогда  $\partial u(M)/\partial n_M = 0$  для всех  $M \in \Gamma_0$ . Из одновременного равенства нулю условий Дирихле и Неймана на внешней границе по теореме Хольмгрена (см. [11], [12]) следует, что  $u(M) \equiv 0$ ,  $M \in \overline{\Omega_0}$ . Приходим к противоречию с условием (2), значит,

$$\int_{\Gamma_0} \frac{\partial u(P)}{\partial n_P} dl_P > 0.$$

Для случая  $a < 0$  доказательство аналогично.

**Теорема 1.** Краевая задача (1)–(3) с неизвестным значением  $a$  и дополнительным условием (4) имеет не более одного решения.

**Доказательство.** Пусть существует два решения краевой задачи:  $u'(M)$  и  $u''(M)$ . Рассмотрим разность этих функций  $v = u' - u''$ . Эта функция является решением следующей краевой задачи:

$$\Delta v(M) = 0, \quad M \in \Omega_0, \quad v(M) = 0, \quad M \in \Gamma_0, \quad v(M) = u'(M) - u''(M), \quad M \in \Gamma_1,$$

$$\int_{\Gamma_0} \frac{\partial v(P)}{\partial n_P} dl_P = 0.$$

Если  $v(M) \neq 0$ ,  $M \in \Gamma_1$ , то получаем противоречие с леммой 1, значит значения функций  $u'(M)$  и  $u''(M)$  на границе  $\Gamma_1$  совпадают и  $u'(M) \equiv u''(M)$ ,  $M \in \overline{\Omega_0}$  в силу единственности решения задачи Дирихле для уравнения Лапласа.

Заметим, что условие (4) является естественным для задачи электроимпедансной томографии: равенство нулю интеграла от нормальной производной электрического потенциала по границе  $\Gamma_0$  с учетом постоянной проводимости в области  $\Omega_0$  соответствует закону сохранения электрического заряда для стационарной замкнутой системы [3], [5].

### 3. ЕДИНСТВЕННОСТЬ РЕШЕНИЯ ОБРАТНОЙ ЗАДАЧИ

Рассмотрим следующую обратную задачу для краевой задачи (1)–(3). Пусть кривая  $\Gamma_0$  и непостоянная функция  $f(M)$  на  $\Gamma_0$  заданы, а кривая  $\Gamma_1$  неизвестна. Требуется определить  $\Gamma_1$ , если для решения  $u(M)$  краевой задачи (1)–(3) задано условие Неймана:

$$\frac{\partial u(M)}{\partial n_M} = g(M), \quad M \in \Gamma_0, \quad \int_{g(P)dP} = 0, \quad (5)$$

где  $g(M)$  – известная функция, непрерывная на  $\Gamma_0$ . Для случая, когда функция  $u(M)$  обращается на  $\Gamma_1$  в ноль ( $a = 0$ ), единственность определения неизвестной внутренней границы по данным Дирихле и Неймана на  $\Gamma_0$  доказана в [6]. В настоящей работе формулируется теорема о единственности решения поставленной обратной задачи при неизвестном значении  $a$ . Ее доказательство основано на применении теоремы Хольмгрена и леммы 1.

**Теорема 2.** Обратная задача (1)–(3), (5), состоящая в определении неизвестной границы  $\Gamma_1$  при неизвестном значении  $a$ , имеет не более одного решения.

**Доказательство.** Докажем теорему от противного. Пусть  $\Gamma_1'$  и  $\Gamma_1''$  – две кривые, ограничивающие несовпадающие односвязные области  $\Omega_1'$  и  $\Omega_1''$  соответственно. Пусть функции  $u'(M)$  и  $u''(M)$  – решения соответствующих краевых задач (1)–(3), (5). Возможны 3 случая взаимного расположения областей  $\Omega_1'$  и  $\Omega_1''$ .

**Случай 1:**  $\overline{\Omega_1'}$  и  $\overline{\Omega_1''}$  не имеют общих точек. Рассмотрим область  $G = \Omega \setminus (\overline{\Omega_1'} \cup \overline{\Omega_1''})$ . Область  $G$  является непустой и связной, а ее граница содержит кривые  $\Gamma_0$ ,  $\Gamma_1'$  и  $\Gamma_1''$ . С учетом (3) и (5) по теореме Хольмгрена функции  $u'(M)$  и  $u''(M)$  совпадают на множестве  $\overline{G}$ . Тогда для функции  $u'(M)$  выполнено условие  $u'(M) \equiv \text{const}$ ,  $M \in \Gamma_1''$ , следовательно, в силу единственности решения задачи Дирихле для уравнения Лапласа  $u'(M) \equiv \text{const}$ ,  $M \in \overline{\Omega_1''}$ . Так как  $\overline{\Omega_1''} \setminus \overline{\Omega_1'}$ , то гармоническая в области  $\Omega \setminus \Omega_1'$  функция  $u'(M)$  является константой, что противоречит условию (3).

**Случай 2:**  $\overline{\Omega_1'}$  и  $\overline{\Omega_1''}$  пересекаются, но не вложены друг в друга, т.е. не выполнено  $\overline{\Omega_1'} \subset \overline{\Omega_1''}$  или  $\overline{\Omega_1''} \subset \overline{\Omega_1'}$ . По теореме Хольмгрена функции  $u'(M)$  и  $u''(M)$  совпадают на связном подмножестве  $W \in \overline{\Omega} \setminus (\Omega_1' \cup \Omega_1'')$ , содержащем кривую  $\Gamma_0$ . Так как  $\overline{\Omega_1'}$  и  $\overline{\Omega_1''}$  не вложены друг в друга, то подмножество  $W$  содержит хотя бы одну общую точку кривых  $\Gamma_1'$  и  $\Gamma_1''$ . Из этого следует, что значения функций  $u'(M)$  и  $u''(M)$  на этих кривых совпадают. Будем считать, что множество  $\Omega_1' \setminus \overline{\Omega_1''}$  не пусто (в противном случае рассмотрим множество  $\Omega_1'' \setminus \overline{\Omega_1'}$ ). Из этого множества можно выделить непустую односвязную область  $G'$ , граница которой состоит из точек, принадлежащих кривым  $\Gamma_1'$  или  $\Gamma_1''$ . Внутри области  $G'$  функция  $u''(M)$  удовлетворяет уравнению Лапласа, а на границе принимает постоянное значение, следовательно, является константой всюду в  $\overline{G'}$ . По аналогии с предыдущим случаем получаем противоречие с условием (3).

**Случай 3.** Имеет место вложение, пусть  $\overline{\Omega_1''} \subset \overline{\Omega_1'}$ . По теореме Хольмгрена функции  $u'(M)$  и  $u''(M)$  совпадают на множестве  $\overline{\Omega} \setminus \Omega_1'$ . Пусть  $u''(M) \equiv a$ ,  $M \in \Gamma_1'$  и  $u''(M) \equiv b$ ,  $M \in \Gamma_1''$ . Из усло-

вия (5) и равенства нулю интеграла от нормальной производной гармонической функции по границе области, в которой она определена, следует, что

$$\int_{\Gamma_1} \frac{\partial u''(P)}{\partial n_P} dl_P = 0.$$

Это условие выполняется и для гармонической в области  $\Omega_1' \setminus \overline{\Omega_1''}$  функции  $v = u'' - a$ . Заметим, что функция  $v$  удовлетворяет условиям леммы 1, следовательно, равенство нулю интеграла от нормальной производной этой функции по кривой  $\Gamma_1$  может выполняться только при  $a = b$ . Последнее означает, что функция  $u''(M)$  является константой. Получаем противоречие с условием (3).

Таким образом, исключены все возможные случаи взаимного расположения различных областей  $\Omega_1'$  и  $\Omega_1''$ , следовательно, эти области совпадают, и по теореме Хольмгрена также совпадают  $u'(M)$  и  $u''(M)$ .

#### 4. ЧИСЛЕННЫЙ МЕТОД РЕШЕНИЯ ОБРАТНОЙ ЗАДАЧИ

Для численного решения обратной задачи (1)–(3), (5) предлагается метод, основанный на принципах, использованных в работах [13]–[15] для построения численных методов решения задач электроимпедансной томографии в случае кусочно-постоянной проводимости. Метод основан на представлении функций  $u(M)$  в виде суммы потенциалов простого слоя, построении нелинейного операторного уравнения относительно функции, задающей неизвестную границу  $\Gamma_1$ , и решении полученного уравнения итерационным методом.

Воспользуемся условием гладкости на функцию  $u(M) \in C^1(\overline{\Omega_0})$  и продифференцируем уравнение (2) по направлению касательной  $l_M$  к кривой  $\Gamma_1$ . Получим следующее уравнение, эквивалентное уравнению (2) в случае, если значение  $a$  неизвестно:

$$\frac{\partial u(M)}{\partial l_M} = 0, \quad M \in \Gamma_1. \quad (6)$$

Представим функцию  $u(M)$  в виде суммы потенциалов простого слоя:

$$u(M) = \int_{\Gamma_0} \mu(P) \ln \frac{1}{\rho_{MP}} dl_P + \int_{\Gamma_1} \nu(P) \ln \frac{1}{\rho_{MP}} dl_P, \quad M \in \Omega_0. \quad (7)$$

Используя введенное представление для функции  $u(M)$ , уравнения (3), (4), (6), а также свойства потенциала простого слоя, получаем следующую систему интегральных уравнений для плотностей потенциалов  $\mu(M)$ ,  $\nu(M)$ :

$$\int_{\Gamma_0} \mu(P) \ln \frac{1}{\rho_{MP}} dl_P + \int_{\Gamma_1} \nu(P) \ln \frac{1}{\rho_{MP}} dl_P = f(M), \quad M \in \Gamma_0, \quad (8)$$

$$\int_{\Gamma_0} \mu(P) \frac{\partial}{\partial l_M} \left( \ln \frac{1}{\rho_{MP}} \right) dl_P + \int_{\Gamma_1} \nu(P) \ln \frac{\partial}{\partial l_M} \left( \ln \frac{1}{\rho_{MP}} \right) dl_P = 0, \quad M \in \Gamma_1, \quad (9)$$

$$\int_{\Gamma_0} dl_M \left[ \pi \mu(M) + \int_{\Gamma_0} \mu(P) \frac{\partial}{\partial n_M} \left( \ln \frac{1}{\rho_{MP}} \right) dl_P + \int_{\Gamma_1} \nu(P) \frac{\partial}{\partial n_M} \left( \ln \frac{1}{\rho_{MP}} \right) dl_P \right] = 0, \quad (10)$$

где  $n_M$  – внешняя нормаль к кривой  $\Gamma_0$  в точке  $M$ .

Для параметризации кривых  $\Gamma_0$  и  $\Gamma_1$  в полярной системе координат сделаем дополнительное предположение относительно класса неизвестных кривых  $\Gamma_1$ . Пусть известна точка  $M_0$ , являющаяся общим центром звездности для всех кривых из этого класса, и кривые  $\Gamma_1$  задаются в полярной системе координат с центром в точке  $M_0$  функциями  $r(\psi) : r(\psi) \in C^2[0, 2\pi]$ , причем  $\|r\|_{C^2[0, 2\pi]} \leq c_0$ , где  $c_0$  – фиксированное число. Будем считать, что внешняя граница  $\Gamma_0$  задается в той же полярной системе координат функцией  $R(\psi) : R(\psi) \in C^2[0, 2\pi]$ .

Запишем уравнения (8)–(10) в полярной системе координат. Пусть на кривой  $\Gamma_0$  точки  $M(x_M, y_M)$  и  $P(x_P, y_P)$  имеют следующие представления в полярной системе координат:  $x_M = R(\psi) \cos \psi$ ,  $y_M = R(\psi) \sin \psi$ ,  $x_P = R(\varphi) \cos \varphi$ ,  $y_P = R(\varphi) \sin \varphi$ . Аналогично на кривой  $\Gamma_1$  точки  $M(x_M, y_M)$  и  $P(x_P, y_P)$  имеют следующие представления:  $x_M = r(\psi) \cos \psi$ ,  $y_M = r(\psi) \sin \psi$ ,  $x_P = r(\zeta) \cos \zeta$ ,  $y_P = r(\zeta) \sin \zeta$ . Обозначим  $f(\psi) = f(R(\psi) \cos \psi, R(\psi) \sin \psi)$ ,  $\mu(\psi) = \mu(R(\psi) \cos \psi, R(\psi) \sin \psi)$ ,  $v(\psi) = v(r(\psi) \cos \psi, r(\psi) \sin \psi)$ .

Уравнение (8) в полярных координатах принимает вид

$$\int_0^{2\pi} N(\varphi, \psi) \mu(\varphi) d\varphi + \int_0^{2\pi} M(\zeta, \psi; r) v(\zeta) d\zeta = f(\psi), \quad 0 \leq \psi \leq 2\pi, \quad (11)$$

где функции  $N(\varphi, \psi)$  и  $M(\zeta, \psi; r)$  определяются в виде

$$N(\varphi, \psi) = -0.5 \ln(R^2(\psi) + R^2(\varphi) - 2R(\psi)R(\varphi) \cos(\psi - \varphi)) \sqrt{R^2(\varphi) + R'^2(\varphi)},$$

$$M(\zeta, \psi; r) = -0.5 \ln(R^2(\psi) + r^2(\zeta) - 2R(\psi)r(\zeta) \cos(\psi - \zeta)) \sqrt{r^2(\zeta) + r'^2(\zeta)}.$$

В обозначении  $M(\zeta, \psi; r)$  подчеркивается зависимость этой функции от функции  $r(\psi)$ . Аналогичное обозначение будет далее использоваться для всех функций, зависящих от  $r(\psi)$ .

Переходя к полярным координатам в уравнении (9), получаем

$$\int_0^{2\pi} P(\varphi, \psi; r) \mu(\varphi) d\varphi + \int_0^{2\pi} Q(\zeta, \psi; r) v(\zeta) d\zeta = 0, \quad 0 \leq \psi \leq 2\pi, \quad (12)$$

где

$$P(\varphi, \psi; r) = \frac{R(\varphi)r'(\psi) \cos(\psi - \varphi) - R(\varphi)r(\psi) \sin(\psi - \varphi) - r'(\psi)r(\varphi) \sqrt{R^2(\varphi) + R'^2(\varphi)}}{r^2(\psi) + R^2(\varphi) - 2r(\psi)R(\varphi) \cos(\psi - \varphi) \sqrt{r^2(\psi) + r'^2(\psi)}},$$

а функция  $Q(\zeta, \psi; r)$  задается в виде

$$Q(\zeta, \psi; r) = \frac{r(\zeta)r'(\psi) \cos(\psi - \zeta) - r(\zeta)r(\psi) \sin(\psi - \zeta) - r'(\psi)r(\zeta) \sqrt{r^2(\zeta) + r'^2(\zeta)}}{r^2(\psi) + r^2(\zeta) - 2r(\psi)r(\zeta) \cos(\psi - \zeta) \sqrt{r^2(\psi) + r'^2(\psi)}}.$$

Уравнение (9) после перехода к полярным координатам принимает вид

$$\int_0^{2\pi} (\pi\mu(\psi) + \int_0^{2\pi} S(\varphi, \psi) \mu(\varphi) d\varphi + \int_0^{2\pi} T(\zeta, \psi; r) v(\zeta) d\zeta) \sqrt{R^2(\psi) + R'^2(\psi)} d\psi = 0. \quad (13)$$

Здесь функции  $S(\varphi, \psi)$  и  $T(\zeta, \psi; r)$  определяются уравнением

$$S(\varphi, \psi) = \frac{R(\varphi)R'(\psi) \sin(\psi - \varphi) + R(\varphi)R(\psi) \cos(\psi - \varphi) - R^2(\psi) \sqrt{R^2(\varphi) + R'^2(\varphi)}}{R^2(\psi) + R^2(\varphi) - 2R(\psi)R(\varphi) \cos(\psi - \varphi) \sqrt{R^2(\psi) + R'^2(\psi)}},$$

$$T(\zeta, \psi; r) = \frac{r(\zeta)R'(\psi) \sin(\psi - \zeta) + r(\zeta)R(\psi) \cos(\psi - \zeta) - R^2(\psi) \sqrt{r^2(\zeta) + r'^2(\zeta)}}{R^2(\psi) + r^2(\zeta) - 2R(\psi)r(\zeta) \cos(\psi - \zeta) \sqrt{R^2(\psi) + R'^2(\psi)}}.$$

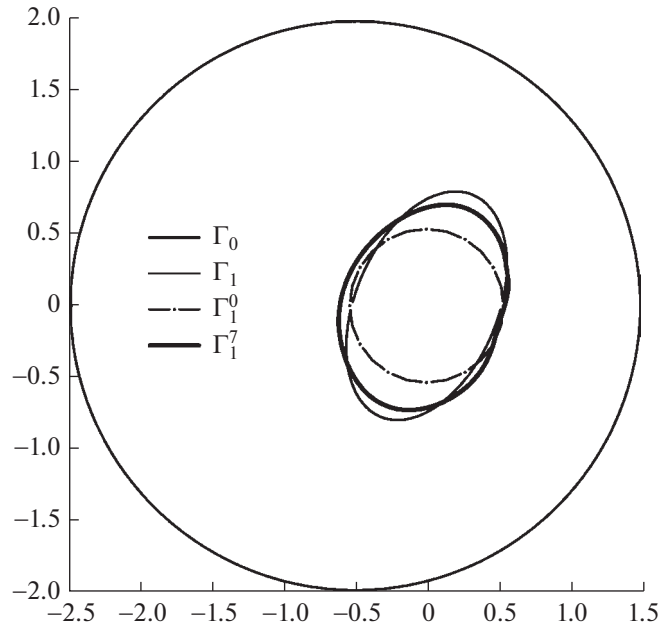
Используя представление (7) и введенную полярную систему координат, получаем из условия (5) для нормальной производной функции  $u(M)$  на границе  $\Gamma_0$  следующее уравнение:

$$\pi\mu(\psi; r) + \int_0^{2\pi} S(\varphi, \psi) \mu(\varphi; r) d\varphi + \int_0^{2\pi} T(\zeta, \psi; r) v(\zeta; r) d\zeta = g(\psi), \quad 0 \leq \psi \leq 2\pi, \quad (14)$$

где  $g(\psi) = g(R(\psi) \cos \psi, R(\psi) \sin \psi)$ . Полученное уравнение будем трактовать как операторное уравнение

$$A[f]r = g \quad (15)$$

относительно неизвестной функции  $r(\psi)$ , задающей границу  $\Gamma_1$ . Для вычисления функции  $(A[f]r)(\psi)$ , являющейся результатом действия оператора  $A[f]$  на функцию  $r(\psi)$ , необходимо при



**Фиг. 1.** Результаты первого вычислительного эксперимента. Внешняя граница  $\Gamma_0$  – тонкая сплошная линия; точная внутренняя граница  $\Gamma_1$  – тонкая сплошная линия; начальное приближение  $\Gamma_1^0$  – штрихпунктирная линия; кривая  $\Gamma_1^7$ , полученная на 7-й итерации, – толстая сплошная линия.

заданных  $f(\psi)$  и  $r(\psi)$  решить систему интегральных уравнений (11)–(13) и определить плотности потенциалов  $\mu(\psi; r)$ ,  $\nu(\psi; r)$ , а затем вычислить значение интегрального оператора, стоящего в левой части уравнения (14).

Для решения построенного операторного уравнения (15) используем итерационный метод. В качестве начального приближения неизвестной кривой  $r_0(\psi)$  выберем окружность. Радиус окружности выбирается так, чтобы на нем достигался минимум функционала невязки в уравнении (15). Эта задача сводится к минимизации функции одной переменной и решается стандартными методами (см. [16]). Пусть  $r_n(\psi)$  – функция, полученная на  $n$ -м шаге итерационного процесса. Для нахождения функции  $r_{n+1}(\psi)$  уравнение (15) линеаризуется в окрестности функции  $r_n(\psi)$  и получается линейное операторное уравнение для функции  $\rho_n(\psi)$ , представляющей собой поправку к функции  $r_n(\psi)$

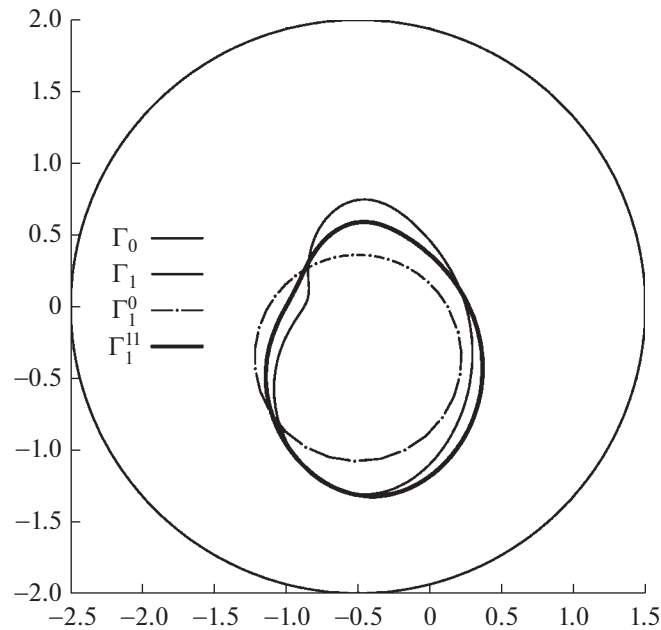
$$\hat{A}[f, g, r_n]\rho_n = \hat{g}[f, g, r_n]. \quad (16)$$

В результате решения этого уравнения определяется функция  $\rho_n(\psi)$ , позволяющая найти  $r_{n+1}(\psi)$ :

$$r_{n+1}(\psi) = r_n(\psi) + \rho_n(\psi), \quad n = 0, 1, 2, \dots \quad (17)$$

Численная реализация предложенного метода проводится следующим образом. На отрезке  $[0, 2\pi]$  вводятся две сетки, одна используется для функций, определенных на границе  $\Gamma_0$ , другая – для функций на границе  $\Gamma_1$ . В уравнениях (11)–(14), (16) все функции заменяются на сеточные аналоги, а интегралы на квадратурные формулы. В результате задача решения уравнения (16) сводится к решению системы линейных алгебраических уравнений для неизвестной сеточной функции  $\rho_n(\psi_i)$ . Для решения полученной СЛАУ применяется метод регуляризации Тихонова. Величина параметра регуляризации согласовывается с точностью задания исходной информации и с шагом итерационного процесса  $n$ .

Приведем результаты вычислительных экспериментов по применению предложенного численного метода решения обратной задачи (1)–(3), (5). В первом вычислительном эксперименте в качестве границы  $\Gamma_0$  была выбрана окружность радиуса 2, неизвестная граница  $\Gamma_1$  представляла собой эллипс с большой полуосью 0.75, смещенный относительно центра внешней окружности



**Фиг. 2.** Результаты второго вычислительного эксперимента. Внешняя граница  $\Gamma_0$  – тонкая сплошная линия; точная внутренняя граница  $\Gamma_1$  – тонкая сплошная линия; начальное приближение  $\Gamma_1^0$  – штрихпунктирная линия; кривая  $\Gamma_1^{11}$ , полученная на 11-й итерации, – толстая сплошная линия.

(см. фиг. 1). Значение функции  $u(M)$  на  $\Gamma_0$  задавалось в полярной системе координат с центром, совпадающим с центром окружности  $\Gamma_0$  следующей формулой:

$$f(\psi) = 10(\exp[-4 \sin^2(\psi/2)] - \exp[-4 \cos^2(\psi/2)]).$$

Схема вычислительного эксперимента была такова. С заданными  $\Gamma_0$ ,  $\Gamma_1$  и  $f(\psi)$  решалась краевая задача (1)–(4) и находилась функция  $g(\psi)$ , представляющая собой значение нормальной производной  $u(M)$  на  $\Gamma_0$ . В эту функцию вносилась погрешность и получалась функция  $g_\delta(\psi)$  такая, что  $\|g(\psi) - g_\delta(\psi)\|_{L_2[0,2\pi]} / \|g(\psi)\|_{L_2[0,2\pi]} = 0.03$ . Далее с функцией  $g_\delta(\psi)$ , взятой в качестве исходных данных, итерационным методом решалась обратная задача (1)–(3), (5). В качестве начального приближения неизвестной границы  $\Gamma_1$  была определена окружность  $\Gamma_1^0$  (см. фиг. 1). Расчеты проводились при выборе равномерных сеток на кривых  $\Gamma_0$  и  $\Gamma_1$ , содержащих 200 и 100 узлов соответственно. На фиг. 1 представлен результат решения обратной задачи  $\Gamma_1^7$ , полученный на 7-й итерации. Критерием останова служило достижение уровня погрешности по невязке.

Во втором вычислительном эксперименте граница  $\Gamma_0$ , значение функции  $u(M)$  на этой границе и параметры сеток были выбраны такие же, как в первом вычислительном эксперименте. Граница  $\Gamma_1$  задавалась кубическим сплайном (см. фиг. 2). Уровень погрешности, вносимый в функцию  $g_\delta(\psi)$ :  $\|g(\psi) - g_\delta(\psi)\|_{L_2[0,2\pi]} / \|g(\psi)\|_{L_2[0,2\pi]} = 0.03$ . На фиг. 2 изображен результат решения обратной задачи  $\Gamma_1^{11}$ , полученный на 11-й итерации с начальным приближением  $\Gamma_1^0$ . Критерием останова служило достижение уровня погрешности по невязке.

### СПИСОК ЛИТЕРАТУРЫ

1. *Borcea L.* Electrical impedance tomography // *Inverse Problems*. 2002. V. 18. P. 99–136.
2. *Bruhl M., Hanke M.* Recent progress in electrical impedance tomography // *Inverse Problems*. 2003. V. 19. P. 65–90.
3. *Holder D.* *Electrical Impedance Tomography: Methods, History and Applications*. Institute of Physics Publishing, 2004.

4. *Kang H., Seo J.K., Sheen D.* Numerical identification of discontinuous conductivity coefficients // *Inverse Problems*. 1997. V. 13. P. 113–23.
5. *Гринберг Г.А.* Избранные вопросы математической теории электрических и магнитных явлений. М.: Изд-во Академии наук СССР, 1948.
6. *Kress R.* Inverse Dirichlet problem and conformal mapping // *Math. and Comput. in Simulat.* 2004. V. 66. P. 255–265.
7. *Friedman A., Vogelius M.* Determining Cracks by Boundary Measurements // *Indiana University Math. Journal*. 1989. V. 38. № 2. P. 497–525.
8. *Alessandrini G., Valenzuela A.D.* Unique determination of multiple cracks by two measurements // *SIAM J. Control Optim.* 1996. V. 34. № 3. P. 913–921.
9. *Bruhl M., Hanke M., Pidcock M.* Crack detection using electrostatic measurements // *ESAIM: Math. Modelling and Numerical Analysis*. 2001. V. 35. № 3. P. 595–605.
10. *Тихонов А.Н., Самарский А.А.* Уравнения математической физики. М.: Наука, 1977.
11. *Мизохата С.* Теория уравнений с частными производными. М.: Мир, 1977.
12. *Hedenmalm H.* On the uniqueness theorem of Holmgren // *Math. Z.* 2015. V. 281. P. 357–378.
13. *Гаврилов С.В., Денисов А.М.* Численные методы определения границы неоднородности в краевой задаче для уравнения Лапласа в кусочно-однородной среде // *Ж. вычисл. матем. и матем. физ.* 2011. Т. 51. № 8. С. 1476–1489.
14. *Gavrilov S.V., Denisov A.M.* A numerical method for solving a three-dimensional electrical impedance tomography problem in the case of the data given on part of the boundary // *Math. Models and Comput. Simulat.* 2016. V. 8. № 4. P. 369–381.
15. *Gavrilov S.V., Denisov A.M.* Numerical solution method for the electrical impedance tomography problem in the case of piecewise constant conductivity and several unknown boundaries // *Differential Equat.* 2016. V. 52. № 7. P. 877–886.
16. *Тихонов А.Н., Гончарский А.В., Степанов В.В., Ягола А.Г.* Численные методы решения некорректных задач. М.: Наука, 1990.